

مقایسه‌ی کانی‌شناسی دایک‌های گابروئی و آمفیبولیتی رودنریتی شده موجود در سرپانتینیت‌های افیولیت ملانژ شمال نائین

سمیه فلاحتی*، معصومه سعیدی، رضوان محوری، موسی نقره‌ئیان، محمود خلیلی، قدرت ترابی

گروه زمین‌شناسی، دانشکده علوم، دانشگاه اصفهان

(دریافت مقاله: ۸۹/۴/۱۴، نسخه نهایی: ۸۹/۸/۹)

چکیده: سنگ مادر دایک‌های رودنریتی شده در منطقه‌ی نائین، به صورت آذرین (گابروهای پگماتوئیدی، میکروگابروها، دلریتها) و به میزان بسیار کمتر، دگرگون (آمفیبولیت) شکل گرفته‌اند. بافت و ضخامت از پارامترهای تأثیر گذار بر رودنریتی شدن این دایک‌ها به شمار می‌آیند. به طوری که دایک‌های گابروئی پگماتوئیدی و میکرو گابروهای کم ضخامت بیشتر تحت تأثیر رودنریتی شدن قرار گرفته‌اند و مراحل ابتدائی تا پیشرفت رودنریتی شدن ایستا (به‌علت حضور کانی‌های جانشینی اپیدوت، پرهنیت، هیدروگراسولار، زنوتلیت، کلریت منیزیومدار، ترمولیت و دیوپسید ثانویه) و نیز رودنریتی شدن دینامیکی (به‌علت حضور کانی‌های رگه‌ای زنوتلیت، پرهنیت و پکتولیت) را طی کرده‌اند. در صورتی که دایک‌های دلریتی و آمفیبولیتی شده به‌دلیل دارا بودن بافت متراکم، تنها مراحل ابتدائی رودنریتی شدن استایی (به‌دلیل وجود کانی‌های جانشینی اپیدوت، پرهنیت و هیدروگراسولار) را تحمل کرده‌اند.

واژه‌های کلیدی: افیولیت ملانژ نائین، رودنریت، دایک گابروئی، دایک آمفیبولیتی، سرپانتینیت.

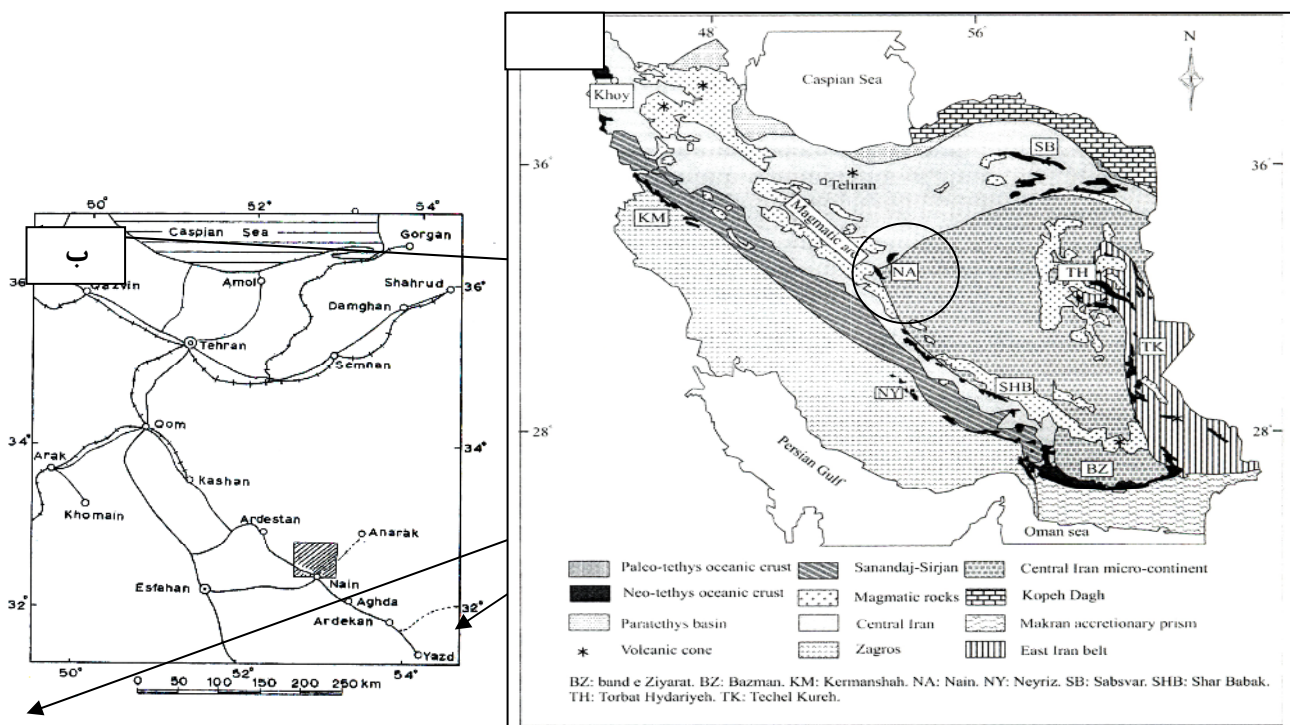
اولترامافیک، کلسیم آزاد می‌شود که این کلسیم قادر به جایگیری در ساختار سرپانتینیت‌ها نیست، لذا در شاره‌ی حاصل از سرپانتینی شدن تمرکز می‌یابد و اگر توده‌های اولترامافیک قبلًا به وسیله‌ی دایک‌های دیابازی مورد هجوم قرار گرفته باشند، شاره‌های حاصل از سرپانتینی شدن آن‌ها روی دایک‌های دیابازی اثر کرده و حاصل واکنش تشکیل رودنریت است [۲]. در منطقه‌ی مورد بررسی، دو نوع دایک رودنریتی شده با دو نوع سنگ خاستگاه متفاوت دیده می‌شوند. اول دایک‌های رودنریتی شده با سنگ خاستگاه آذرین (گابروهای پگماتوئیدی، میکروگابروها، دلریت) و دیگری دایک‌های رودنریتی شده با سنگ خاستگاه دگرگونی (آمفیبولیت).

مقدمه و زمین‌شناسی منطقه

در گستره‌ی شمال نائین، مجموعه سنگ‌های افیولیت ملانژ به سن پالتوسن تا اوسن رخنمون دارند. پریدوتیت‌های سرپانتینی شده، گابرو، دایک‌های صفحه‌ای، پلازیوگرانیت، بازالت و آهک پلازیک یا رادیولاریت‌های همراه، از واحد‌های تشکیل دهنده‌ی این افیولیت هستند (شکل ۱) [۱].

بنابر آخرین بررسی‌ها، سنگ‌های رودنریتی، سنگ‌های غنی از کلسیمی هستند که از دگرنهادی سنگ‌های گابروئی، دلریتی، گری وکی، گرانیتی، داسیتی و شیلی وابسته به مجموعه‌های بزرگ سرپانتینیتی حاصل می‌شوند. در جریان سرپانتینی شدن، پیروکسن و الیوین موجود در سنگ‌های

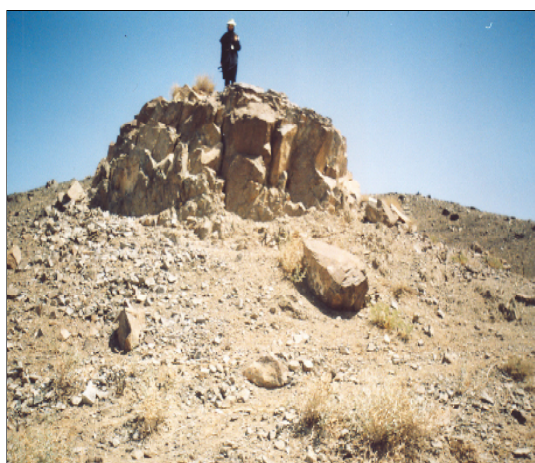
*نویسنده مسئول، تلفن: ۰۹۱۲۱۲۶۱۷۷۵، نمایش: ۰۳۱۲۲۶۱۶۲۳، پست الکترونیکی: somayehfalhaty@yahoo.com



شکل ۱ الف: موقعیت افیولیت های ایران Khoy: خوی، KM: کرمانشاه، BZ: بند زیارت، NY: نیریز، SB: سبزوار، NA: نائین، ES: بافت اسفنده، RS: رشت IR: ایرانشهر، SHB: شربابک [۴]. ب: نقشه راههای دستیابی به منطقه [۱].

دایک‌های آمفیبولیتی و رودنژیتی شده، اغلب به رنگ سبز کم رنگ برآق با ساختار بودیناژ و ضخامت کم و به صورت پراکنده درون سرپانتینیت‌های منطقه در راستای جاده‌ی سهیل - سپرو، از دایک‌های دیگر رودنژیتی شده منطقه قابل تفکیک‌اند (شکل ۳) [۳].

دایک‌های گابروئی رودنژیتی شده، اغلب به رنگ سفید تا کرم و به صورت ساختارهای سوسیسی شکل (بودیناژ) با ضخامت کم در سرپانتینیت‌های منطقه قبل رؤیت‌اند و در دو منطقه‌ی شمال احمد‌آباد و گلی گنگو رخنمون گستردگی دارند (شکل ۲).



شکل ۲ نمایی از دایک آمفیبولیتی شده رودنژیتی شده در افیولیت ملاتز شمال نائین.



شکل ۳ نمایی از دایک‌های گابروئی رودنژیتی شده در افیولیت ملاتز شمال نائین.

روش بررسی

موجود در مقاطع با استفاده از ریز پردازنده‌ی الکترونی Cameca SX-100 با ولتاژ ستаб دهنده‌ی 20kV و جریان 15nA آنالیز شدند. داده‌های حاصل از آنالیز کانی‌ها و فرمول ساختاری محاسبه شده با نرم افزار Minpet 2.02 در جدول‌های ۴-۱ آورده شده‌اند. در محاسبه‌ی مقدار Fe^{+3} برای دستیابی به فرمول ساختاری کانی‌ها نیز از عنصرسنجی کانی‌ها استفاده شد.

به منظور بررسی ترکیب کانی‌های موجود در روغن‌زیست‌های افیولیت نائین، ۴۰ نمونه از این سنگ‌ها برای تهیه مقطع نازک انتخاب شدند. پس از بررسی‌های سنگنگاری، از ۱۰ نمونه این سنگ‌ها مقطع نازک صیقلی تهیه شد و برای آنالیز EDS به دانشگاه تربیت مدرس تهران و آنالیز ریز پردازشی به دانشگاه لیبینیز آلمان، کانی‌های لیبینیز آلمان منتقال یافتند. در دانشگاه لیبینیز آلمان، کانی‌های

جدول ۱ نتایج آنالیز میکروپروروب از کانی‌های کلینوپیروکسن ثانویه.

Major element	Wt%	Wt%	Wt%	Wt%
SiO_2	۷۰,۵۶	۶۵,۵۷	۷۵,۵۵	۵۱,۵۶
TiO_2	۰,۰۳۰	۰,۰۱۰	۰,۰۰	۰,۰۰
Al_2O_3	۰,۷۴	۰,۲۹	۰,۲۲	۰,۲۳
FeO^*	۶,۷۰	۶,۹۲	۵,۵۵	۷,۰۷
MnO	۰,۰۷	۰,۰۶	۰,۰۵۰	۰,۰۵
MgO	۱۵,۱۷	۱۷,۹۶	۱۳,۷۱	۱۷,۴۷
CaO	۱۹,۰۱	۱۶,۷۷	۲۱,۷۷	۱۷,۶۷
Na_2O	۰,۶۹	۰,۱۷	۱,۱۹	۰,۱۱
K_2O	۰,۰۵	۰,۰۳	۰,۰۷	۰,۰۵
Total	۹۸,۶۶	۹۹,۸۶	۹۸,۳۱	۹۹,۱۷
Formula	Cations	Cations	Cations	Cations
Si	۲,۰۸۴	۲,۰۷۶	۲,۰۷۱	۲,۰۱۶
Al	۰,۰۸۴	۰,۰۷۶	۰,۰۷۱	۰,۰۶۱
Al	۰,۰۹۵	۰,۰۸۹	۰,۰۸۰	۰,۰۷۱
Fe(iii)	۰,۰۰	۰,۰۰	۰,۰۰	۰,۰۰
Cr	۰,۰۰	۰,۰۰	۰,۰۰	۰,۰۰
Ti	۰,۰۰۱	۰,۰۰	۰,۰۰	۰,۰۰
Fe(ii)	۰,۲۰۹	۰,۲۱۲	۰,۱۷۴	۰,۲۱۹
Mn	۰,۰۰۲	۰,۰۰۲	۰,۰۰۲	۰,۰۰۲
Mg	۰,۸۳۱	۰,۹۴۶	۰,۷۵۹	۰,۹۵
Ca	۰,۷۴۹	۰,۶۴۷	۰,۸۶۶	۰,۴۹
Na	۰,۰۴۹	۰,۰۱۲	۰,۰۸۶	۰,۰۰۸
K	۰,۰۰۲	۰,۰۰۱	۰,۰۰۳	۰,۰۰۲
Total	۳,۹۳۸	۳,۹۲۷	۳,۹۷	۳,۹۴۲

جدول ۲ محاسبه درصد اعضای انتهائی محلول‌های جامد در کانی‌های کلینوپیروکسن ثانویه.

Wo	۴۰,۶۷	۳۵,۲۱	۴۵,۹۲	۳۶,۹۴
En	۴۵,۱۷	۵۲,۴۸	۴۰,۲۴	۵۰,۸۳
Fs	۱۱,۴۹	۱۱,۶۶	۹,۲۹	۱۱,۸۱
Ac	۲,۶۷	۰,۶۵	۴,۵۴	۰,۴۲

جدول ۳ نتایج آنالیز EDS از کانی‌های پرهنیت ×جانشینی، ×رگه‌ای.

Major element	Wt %*	Wt %*	Wt %**	Wt%**
SiO ₂	۴۷,۴۲	۶۷,۴۵	۴۶,۱۱	۴۷,۷۸
TiO ₂	۰,۰۰	۰,۰۰	۰,۰۰	۰,۰۰
Al ₂ O ₃	۱۷,۶۰	۲۲,۹۶	۲۰,۷	۱۶,۳۹
Fe ₂ O ₃	۰,۰۰	۰,۰۰	۰,۰۰	۰,۰۰
MnO	۰,۰۰	۰,۰۰	۰,۳۷	۰,۰۰
MgO	۰,۸۲	۰,۸۴	۱,۳۷	۰,۴۸
CaO	۳۲,۸۷	۳۰,۱۳	۳۰,۹	۳۴,۶۳
Na ₂ O	۰,۶۵	۰,۰۰	۰,۰۰	۰,۰۰
K ₂ O	۰,۶۴	۰,۴۰	۰,۰۰	۰,۷۱
H ₂ O	۰,۰۰	۰,۰۰	۰,۰۰	۰,۰۰
Totals	۱۰۰	۱۰۰	۱۰۰	۹۹,۹۹
Formula	Cations	Cations	Cations	Cations
Si	۳,۱۹۱	۳,۰۳۱	۳,۰۷۶	۳,۲۲۰
Ti	۰,۰۰	۰,۰۰	۰,۰۰	۰,۰۰
Al	۱,۳۹۶	۱,۷۹۷	۱,۶۲۸	۱,۳۱۵
Fe ³⁺	۰,۰۰	۰,۰۰	۰,۰۲۸	۰,۰۰
Mn	۰,۰۰	۰,۰۰	۰,۰۲۱	۰,۰۰
Mg	۰,۰۸۲	۰,۰۸۳	۰,۱۳۶	۰,۰۴۰
Ca	۲۰,۳۷۰	۲,۱۴۳	۲,۲۰۸	۲,۵۱۶
Na	۰,۰۸۵	۰,۰۰	۰,۰۰	۰,۰۰
K	۰,۰۵۵	۰,۰۳۴	۰,۰۰	۰,۰۶۱
OH	۰,۰۰	۰,۰۰	۰,۰۰	۰,۰۰
Totals	۷,۱۸۰	۷,۰۸۷	۷,۰۹۷	۷,۱۵۶

جدول ۴ نتایج آنالیز میکروپریوب از کانی‌های گارنت.

Major element	Wt%	Wt%	Wt%
SiO ₂	۲۸,۱۷۰	۲۸,۴۸۰	۳۴,۰۹۰
TiO ₂	۰,۲۸۰	۰,۱۰۰	۲۲,۸۷۰
Al ₂ O ₃	۲۲,۳۸۰	۲۲,۷۷۰	۲۲,۸۷۰
FeO*	۰,۰۷۰	۰,۱۰۰	۰,۱۰۰
MnO	۰,۰۰	۰,۰۰	۰,۰۲۰
MgO	۰,۱۴۰	۰,۱۲۰	۰,۰۵۰
CaO	۳۸,۰۶۰	۳۷,۸۲۰	۳۷,۰۰
Total	۸۹,۱۰۰	۸۹,۱۹۰	۹۴,۱۷۰
Formula	Cations	Cations	Cations
Si	۴,۹۲۲	۴,۹۵۶	۵,۵۱۰
Ti	۰,۰۳۷	۰,۰۱۳	۰,۰۰۵
Al	۴,۶۰۸	۴,۶۶۹	۴,۳۵۳
Fe ²⁺	۰,۰۱۰	۰,۰۱۵	۰,۰۱۴
Mn	۰,۰۰	۰,۰۰	۰,۰۰۳
Mg	۰,۰۳۶	۰,۰۳۱	۰,۰۱۲
Ca	۷,۱۲۴	۷,۰۱۳	۶,۴۲۱
Total	۱۶,۷۳۷	۱۶,۶۹۷	۱۶,۳۱۳

سالم، دایک‌هایی که کم رودزنزیتی شده‌اند و دایک‌های بدهشت رودزنزیتی شده، وابسته‌اند. در تصاویر میکروسکوپی به منظور نشان دادن نام کانی‌ها از [۵] استفاده شد.

دایک‌های گابروئی تقریباً سالم

بافت دانه‌دار این سنگ‌ها کاملاً قابل دیدن است. پلازیوکلار ها به رنگ سفید بوده و گاهی ظاهر خاکی دارند که نتیجه‌ی تبدیل این کانی‌ها به است می‌باشد. کلینوپیروکسن‌ها اغلب به آمفیبیول یا کلریت تبدیل شده‌اند.

دایک‌های گابروئی کم رودزنزیتی شده

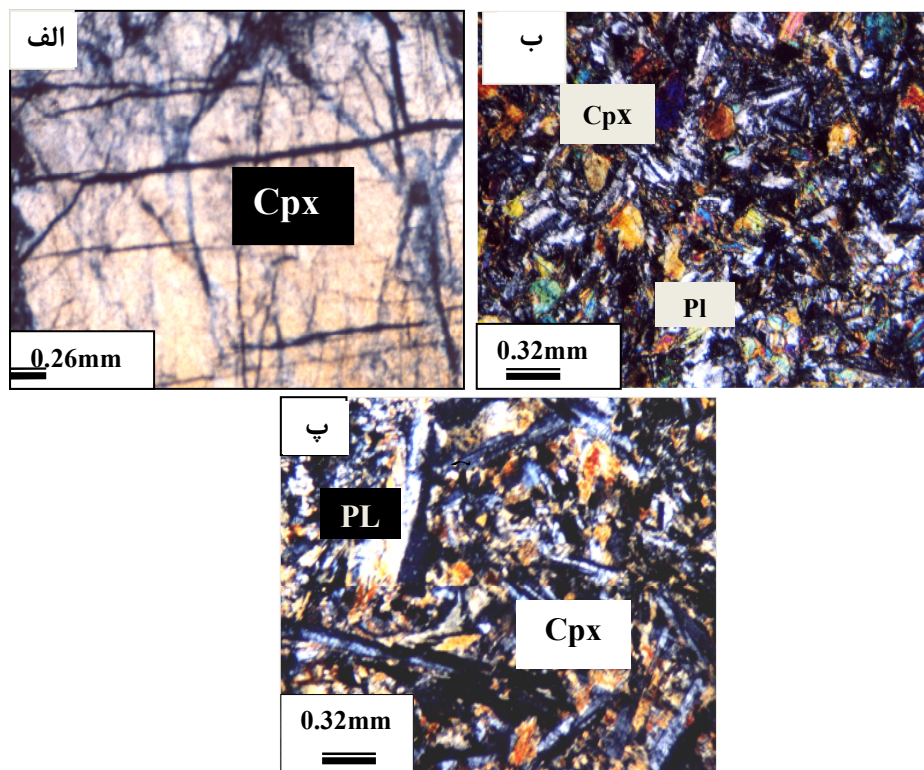
پرهنیت حاصل از تجزیه در این سنگ‌ها به فراوانی دیده می‌شود که در بعضی از بخش‌ها، این کانی‌ها به هیدروگراسولار تبدیل شده‌اند. در حالی که کلینوپیروکسن‌ها تقریباً سالم‌اند و حدود ۵۰ درصد سنگ را تشکیل می‌دهند. حاشیه‌های کانی‌های کلینوپیروکسن در حال تبدیل به ترمولیت‌اند. بافت این سنگ‌ها ضمن محفوظ ماندن بافت اولیه، گرانوبلاستیک است (شکل ۵ الف).

بررسی‌های سنگ‌نگاری دایک
الف: دایک‌های گابروئی رودزنزیتی شده
از نظر بافت، سنگ خاستگاه دایک‌های گابروئی رودزنزیتی شده در منطقه‌ی نائین به سه نوع گابروی پگماتیتوئیدی، میکروگابروها و دلریت‌ها تقسیم می‌شوند (شکل‌های ۴ الف و ۴ ب و ۴ پ).

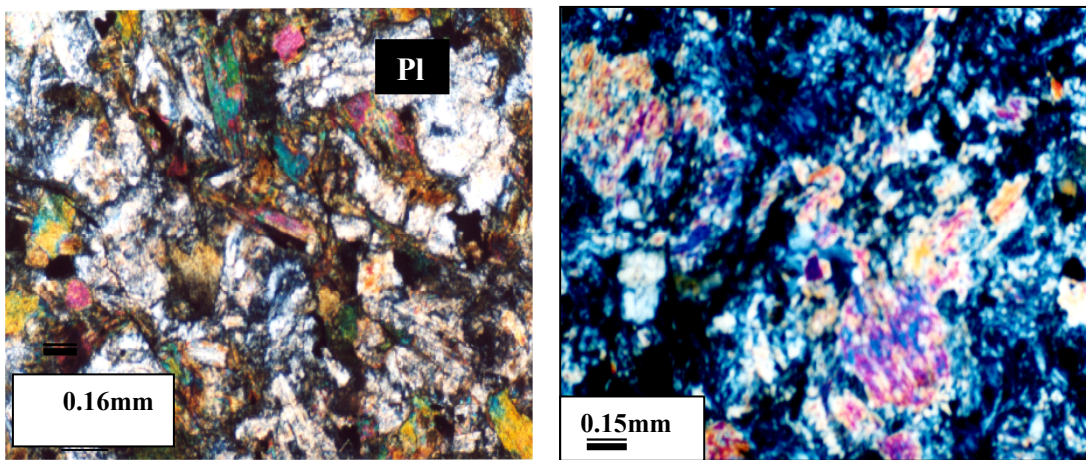
به طور کلی بافت و ضخامت، از پارامترهای تأثیر گذار بر رودزنزیتی شدن سنگ‌ها به شمار می‌آیند. این دو عامل در اند، به طوری که دایک‌های گابروئی افیولیت نائین نیز مؤثر بوده‌اند، به طوری که دایک‌های گابروئی پگماتیتوئیدی و میکروگابروها کم ضخامت بیشتر تحت تأثیر رودزنزیتی شدن قرار گرفته‌اند. در صورتی که دلریت‌ها به دلیل دارا بودن بافت متراکم، کمتر دستخوش این فرایند شده‌اند [۳].

برای بررسی‌های سنگ‌نگاری این دایک‌ها (گابروها پگماتیتوئیدی و میکروگابروها)، ۳ دسته مقطع مورد ارزیابی قرار گرفته شد.

مقاطع گروه ۱، ۲ و ۳ که به ترتیب به دایک‌های نسبتاً



شکل ۴ الف: گابرو پگماتیتوئیدی، XPL، ب: میکروگابرو، Cpx، پ: دلریت، XPL. (کلینوپیروکسن = PL).



شکل ۵ الف نمایی از یک گابرو کم رودنژیتی شده، XPL

بی‌رنگ دیده می‌شود و معمولاً در مجموعه‌های شبیه دسته کنند شکل گرفته‌اند که به آن ساختار پاپیونی گفته می‌شود. - کانی هیدروگراسولار در نور XPL کاملاً همسانگرد بوده و ویژگی‌های گارنت را دارد و در نور PPL نیز قهوه‌ای تیره بوده و از برآمدگی‌های زیادی تشکیل شده است. ویژگی متمایزی که این کانی نسبت به گارنت دارد این است که، به صورت بی‌شکل در متن سنگ پراکنده است و در نور PPL رنگ آن ثابت نبوده و از قهوه‌ای روشن تا تیره در نوسان است [۶].

۲- زنوتلیت جانشینی به خرج پلازیوکلاز و ترمولیت، کلریت منیزیومدار (شکل ۶ پ) و کلینوپیروکسن ثانویه (شکل ۶ ت) به خرج کلینوپیروکسن اولیه که مرحله‌ی پیشرفت‌های رودنژیتی شدن ایستا را نشان می‌دهد.

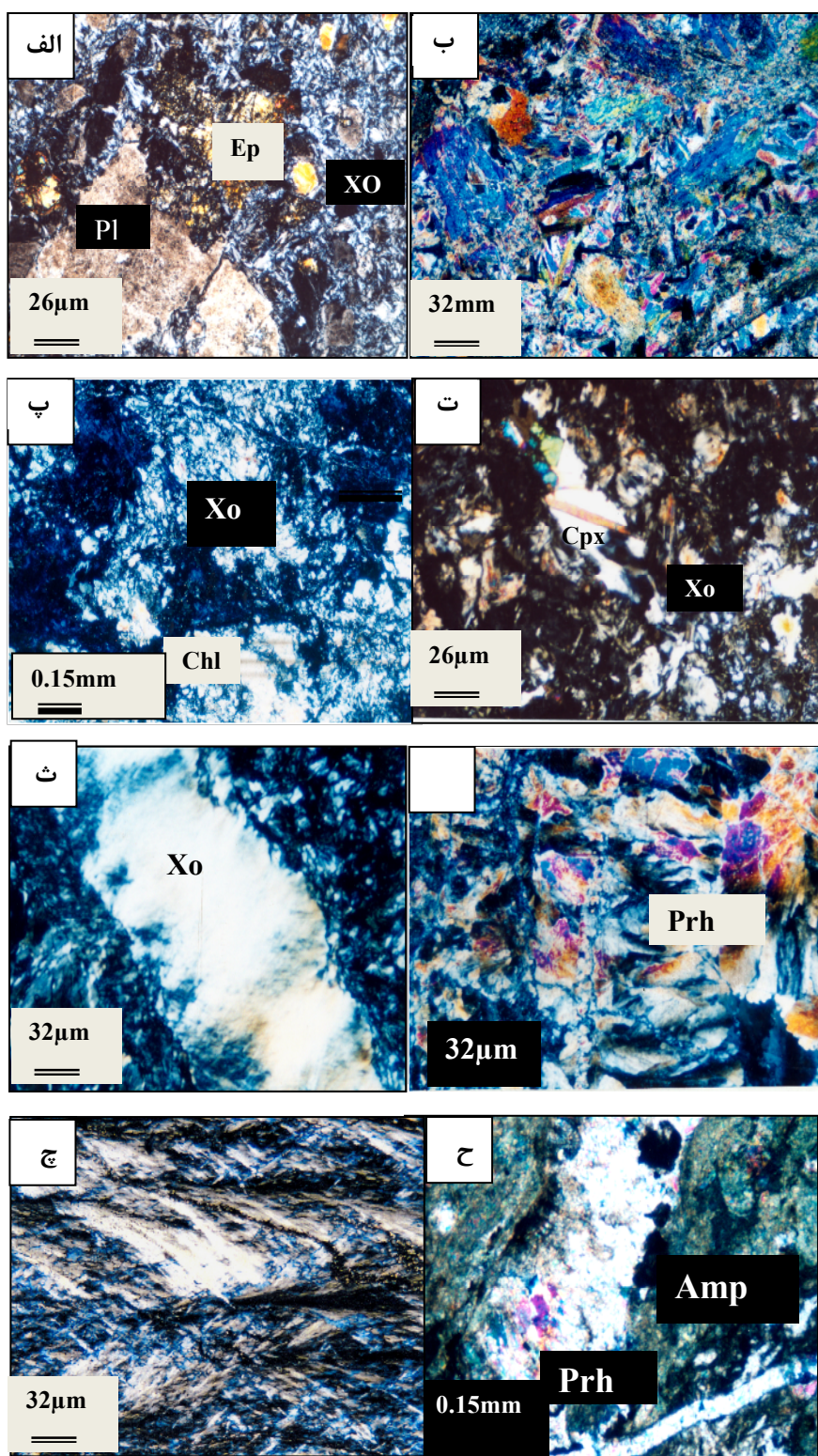
- کانی زنوتلیت جانشینی معمولاً همراه با آلبیت، پکتولیت و هیدروگراسولار و نیز همراه با پرهنیت و گراسولار دیده می‌شود [۶] و در زیر میکروسکوپ به صورت نیمه شفاف به رنگ سفید گچی تا حاکستری مایل به آبی و صورتی کم رنگ با رنگ‌های پریده دیده می‌شود

- در مقاطع مورد بررسی، کلینوپیروکسن‌های ثانویه به صورت تیغه‌های نازک و در زنوتلیت‌های رگه‌ای قابل مشاهده‌اند. تفکیک کلینوپیروکسن‌های اولیه و ثانویه در بررسی‌های سنگ-شناسی این گونه است که، کلینوپیروکسن‌های ثانویه ریزتر و سالم‌ترند، در حالی که کلینوپیروکسن‌های اولیه، درشت و مات بوده و به صورت جدا از هم و تیغه‌های انحلال در جهت (۰۰۱) هستند [۷].

شکل ۵ ب نمایی از یک گابروی شدیداً رودنژیتی شده، XPL

دایک‌های گابرویی شدیداً رودنژیتی شده هیدروگراسولار حاصل از تجزیه پلازیوکلازها، در این سنگ‌ها به مقدار فراوان دیده می‌شود به طوری که حتی سطح کانی‌های کلینوپیروکسن را نیز می‌پوشاند. پرهنیت حاصل از تبدیل پلازیوکلازها به مقدار کم دیده می‌شوند که نشان دهنده‌ی تبدیل تقریباً کامل این کانی‌ها به هیدروگراسولار است. کلینوپیروکسن‌ها نیز تقریباً تماماً به ترمولیت یا دیوپسید ثانویه تبدیل شده‌اند. هیدروگراسولارهای حاصل از تبدیل پلازیوکلازها، فضای خالی بین منشورهای کلینوپیروکسن‌های اولیه تبدیل شده به ترمولیت را، پر کرده‌اند. بافت‌های مشاهده شده در این سنگ‌ها گرانوبلاستیک و کاتاکلاستیک‌اند که وجود این بافت‌ها به ترتیب نشانه‌ی رودنژیتیزاسیون استاتیک (بهدلیل حضور کانی‌های جانشینی) و دینامیک (بهدلیل حضور کانی‌های رگجه‌ای) است (شکل ۵ ب). خلاصه اینکه کانی‌های زیر، به ترتیب با افزایش درجه‌ی رودنژیتی شدن در دایک‌های گابروی رودنژیتی شده منطقه مورد بررسی، به ترتیب زیر قابل مشاهده‌اند.

۱- اپیدوت (شکل ۶ الف)، پرهنیت (شکل ۶ ب) و هیدروگراسولار جانشین به خرج پلازیوکلاز که مرحله‌ی آغازین رودنژیتی شدن استاتیک را نشان می‌دهد. کانی پرهنیت (نام این کانی از نام یابنده آن، کلنل پرن^۱ گرفته شده است) جزء سیلیکات‌های ورقه‌ای محسوب می‌شود. در زیر میکروسکوپ خاطر داخل رنگ سری ۱ و ۲، خاموشی موجی و جهت کلیواژ تشخیص داده می‌شود. این کانی در نور طبیعی،



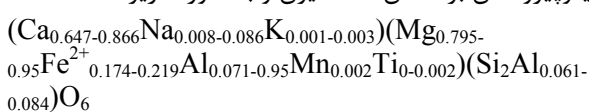
شکل ۶ تصاویر میکروسکوپی رودنژیت‌های افیولیت ملانژ نائین: الف: تبدیل پلازیوکلاز به اپیدوت در یک گابروی رودنژیتی شده ب: تبدیل پلازیوکلاز به پرهنیت در یک گابروی رودنژیتی شده ب: تبدیل پیروکسن به کلریت منیزیومدار در یک گابروی رودنژیتی شده ت: تبدیل پیروکسن‌های اولیه به پیروکسن‌های ثانویه در یک گابروی رودنژیتی شده ث: زنوتلیت رگه‌ای در یک گابروی رودنژیتی شده ج: پرهنیت رگه‌ای در یک گابروی رودنژیتی شده ج: پکتوولیت رگه‌ای در یک گابروی رودنژیتی شده ح: تبدیل پلازیوکلاز به پرهنیت در یک آمفیبولیت رودنژیتی شده. (کلینوپیروکسن = Cpx ، پلازیوکلاز = XO ، زنوتلیت = Prh ، پرهنیت = Amp ، اپیدوت = Ep)

فرایند رودنژیتی شدن ایستا) و نماتوبلاستیک (بهدلیل حضور آمفیبیول فراوان‌اند).

کانی شیمی

ترکیب کلینوپیروکسن ثانویه

بهمنظور روشن شدن فرمول ساختاری و ترکیب شیمیائی کلینوپیروکسن‌های ثانویه موجود در رودنژیت‌های منطقه‌ی مورد بررسی،^۴ نمونه از این کانی، مورد بررسی ریز گمانه‌ای قرار گرفتند. نتایج حاصل از آنالیز در جدول‌های (۱) و (۲) آورده شده‌اند. با توجه به داده‌های آنالیز، فرمول ساختاری کانی‌های کلینوپیروکسن بر اساس ۶ اکسیژن و به صورت زیر است.

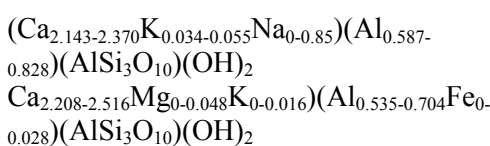


استفاده از نمودار Wo – En – Fs، نشان دهنده‌ی ترکیب دیوپسید و اوژیت برای کلینوپیروکسن‌های ثانویه موجود در رودنژیت‌های افیولیت نائین است (شکل ۷) [۳].

ترکیب پرهنیت

فرمول ایده‌آل یک پرهنیت₂ (OH)₂ Ca₂Al[AlSi₃O₁₀] است. در این فرمول، جانشینی Fe³⁺ به جای Al دیده می‌شود [۱۰]. کانی‌های پرهنیت در دمای ۶۰۰ تا ۷۵۰ درجه‌ی سانتی‌گراد، آب ساختاری خود را از دست می‌دهند بنابراین جزء گروه زئولیت‌ها رده‌بندی نمی‌شوند ولی به دلیل آن که ظاهری شبیه به زئولیت دارند، به آن‌ها اصطلاح زئولیت‌های دروغین^۳ اطلاق می‌شود. البته به پکتولیت نیز که یک شبه پیروکسن با است همین نام مورد شناسایی قرار می‌گیرد.

بهمنظور پی‌بردن به ترکیب شیمیائی پرهنیت‌های موجود در منطقه، تعداد ۴ نمونه از این کانی انتخاب و مورد بررسی قرار گرفتند (جدول ۳). با توجه به داده‌های آنالیز، فرمول ساختاری کانی این بر اساس ۱۱ اکسیژن و به صورت زیر به دست آمد.



با توجه به فرمول‌های ساختاری به دست آمده، پرهنیت‌های رگه‌ای و جانشینی از لحاظ ترکیب تفاوت زیادی نشان نمی‌دهند.

۳- زنوتولیت (شکل ۶ ث)، پرهنیت (شکل ۶ ج)، و پکتولیت (شکل ۶ چ) رگه‌های که خاص رودنژیت‌های دینامیک می‌باشند [۳].

- کانی پکتولیت (نام این کانی از واژه‌ای یونانی به معنی فشرده در اشاره به شکل بلوری کانی، گرفته شده است)، در نور طبیعی، بی‌رنگ و در نور قطبیده، دوشکستی نسبتاً شدید (رنگ های سری سوم) دارد. ویژگی پکتولیت دو جهت رخ کامل است که این رخ‌ها قطعه‌های سوزنی شکل بسیار تیزی را در این کانی به وجود می‌آورند [۸]. ظاهراً این کانی با یک کانی همسانگرد با برجستگی بیشتر که در حقیقت شکل دروغین پکتولیت است در تعادل دیده می‌شود. وقتی پلازیوکلاز به کانی‌های کلسیم‌دار تبدیل می‌شود، حضور کانی‌های سدیم‌دار منطقی به نظر می‌رسد. مشاهده‌ی پلازیوکلاز با ماکل آلیتی، دلیلی بر آزاد شدن آلیت از ساختار بلورین پلازیوکلاز طی فرایند رودنژیتی شدن است و می‌توان نتیجه گرفت که، سدیم آزاد شده از پلازیوکلاز می‌تواند در ساختار پکتولیت وارد شود و رگه‌های پکتولیتی را تشکیل دهد [۹]. پکتولیت در نمونه‌های ماکروسکوپی، به صورت انباشت‌های شعاعی ظریف رشته‌ای یا موازی و فشرده با جلای شیشه‌ای تا ابریشمی دیده می‌شود.

بنابر بررسی‌های انجام شده، پاراژن‌های زیر در دایک‌های گابروئی شدیداً رودنژیتی شده افیولیت ملانژ شمال نائین به ترتیب زیر دیده می‌شود:

- پرهنیت - کلینوپیروکسن - اکتینولیت
- کلینوپیروکسن - هیدروگرسولار - کلریت
- هیدروگرسولار - دیوپسید

سنگنگاری دایک‌های آمفیبولیتی شده رودنژیتی شده در منطقه‌ی مورد بررسی، علاوه بر دایک‌های گابروئی رودنژیتی شده، دایک‌های آمفیبولیتی، و شده رودنژیتی شده نیز دیده می‌شوند. دایک‌های آمفیبولیتی شده به علت دارا بودن بافت متراکم کمتر از دایک‌های گابروئی تحت تأثیر رودنژیتی شدن قرار گرفته‌اند [۳]. در این سنگ‌ها، کانی‌های آمفیبیول که تقریباً ۵۰ درصد سنگ را تشکیل داده‌اند، تا حدودی سالم باقی مانده‌اند و به مقدار ناچیزی به کلریت تبدیل شده‌اند. در عوض در صد زیادتری از کانی‌های پلازیوکلاز به پرهنیت تبدیل شده‌اند (شکل ۶ ج). بافت اصلی مشاهده شده در این سنگ‌ها، بافت گرانوبلاستیک (به علت حضور کانی‌های جانشینی حاصل از

پردارش قرار گرفتند. نتایج حاصل از آنالیز این کانی‌ها در جدول‌های (۴ و ۵) آورده شده‌اند.

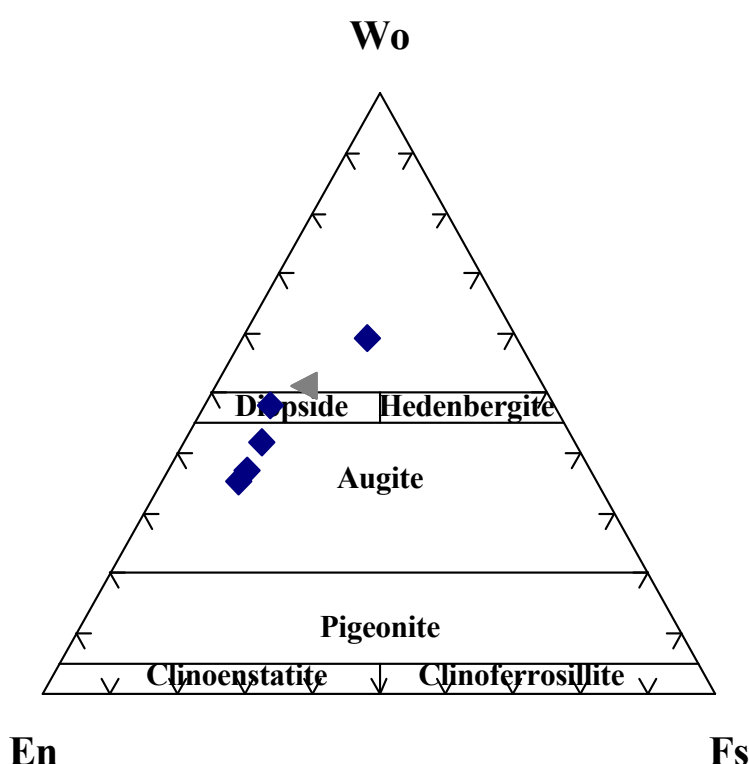
با توجه به داده‌های ریز پردازش، فرمول ساختاری این کانی‌ها بر اساس ۲۴ اکسیژن و بهصورت زیر محاسبه شده است.

$\text{Ca}_{6.421-7.12} \text{Mg}_{0.12-0.036} \text{Ti}_{0.005-0.037} \text{Fe}_{0.010-0.015} \text{Mn}_{0-0.003} (\text{Al}_4)(\text{Si}_{4.922-5.510} \text{Al}_{0.35-0.669})\text{O}_{24}$

لازم به یادآوری است که، بهدلیل عدم محاسبه مقدار آب در بررسی EDS و ریزگمانه، تشخیص گراسولار و هیدروگراسولار از یکدیگر در نمونه‌های مورد بررسی محدود نبود، بههمین دلیل ترکیب گارنت‌های منطقه با توجه به دارا بودن کلسیم زیاد می‌تواند هر یک از این دو کانی باشد [۳].

ترکیب گارنت

گارنت‌ها بر اساس ترکیب شیمیائی به دو گروه گارنت Al دار (پیرالسپیت) و گارنت Ca دار (اوگراندیت) تقسیم می‌شوند. هیدروگراسولار نیز جزو گارنت‌ها رده‌بندی می‌شود. فرمول ساختاری هیدروگراسولار بهصورت $\text{Ca}_3\text{Al}_2\text{Si}_2\text{O}_8(\text{SiO}_4)_{1-m}(\text{OH})_{4m}$ می‌باشد. در این فرمول، m بین ۰ تا ۱ تغییر می‌کند. $\text{Ca}_3\text{Al}_2(\text{SiO}_4)_{12}$ (گراسولار) و $\text{Ca}_3\text{Al}_2(\text{OH})_{12}$ (هیپشیت) عضوهای پایانی سری محلول جامد هیدروگراسولار هستند [۱۰]. بهمنظور پی‌بردن به ترکیب شیمیائی گارنت‌های موجود در سنگ‌های منطقه، تعداد ۳ نمونه از این کانی مورد ریز

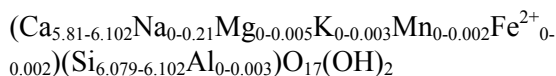


شکل ۷ دیاگرام [۱۰]

جدول ۵ محاسبه درصد اعضای انتهائی محلول‌های جامد در کانی‌های گارنت.

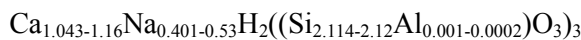
	Py	Alm	Gro
Py	۰,۵۰۹	۰,۴۴۱	۰,۱۸۷
Alm	۰,۱۴۳	۰,۲۰۶	۰,۲۱۰
Gro	۹۹,۳۴۹	۹۹,۳۵۳	۹۹,۵۶۲
Sp	۰,۰۰	۰,۰۰	۰,۰۴۲

ساختاری زنوتلیت بر اساس ۱۸ اکسیژن محاسبه شد.



ترکیب پکتولیت

کانی پکتولیت با فرمول $Ca_2NaH(SiO_3)_3$ در گروه شبه پیروکسن‌ها قرار می‌گیرد. پکتولیت یک کانی با پیدایشی شبیه به زئولیت‌هاست. وجه تمایز پکتولیت از زئولیت‌ها، که ظاهری کاملاً شبیه به پکتولیت دارند، در نداشتن آلومینیوم است. به منظور پی بردن به ترکیب شیمیائی پکتولیت موجود در منطقه، تعداد ۲ نمونه از این کانی، مورد بررسی ریز گمانه‌ای، قرار گرفتند (جدول ۷). با توجه به نتایج بررسی ریز گمانه‌ای، فرمول ساختاری پکتولیت بر اساس ۶ اکسیژن محاسبه شد.



ترکیب زنوتلیت

کانی زنوتلیت با فرمول $Ca_6Si_6O_{17}(OH)_2$ جزو کانی‌های هیدروسیلیکات کلسیم به شمار می‌آید. از کانی‌های این خانواده می‌توان به زنوتلیت، توبرموریت، ژنیت و ژیرولیت اشاره کرد. مقایسه‌ی شرایط تشکیل زنوتلیت و توبرموریت نشان می‌دهد که، زنوتلیت در دمای بالاتر و میزان آلومنیوم پائین‌تری نسبت به توبرموریت شکل می‌گیرد [۱۱] از نظر ساختاری، زنوتلیت شباهت زیادی با توبرموریت نشان می‌دهد. ساختار زنوتلیت شامل لایه‌های سیلیکات متسلسل از زنجیره‌های دوگانه سیلیکات چاروچهی به طور موازی با محور b است [۱۲]. به منظور پی بردن به ترکیب شیمیائی زنوتلیت‌های موجود در منطقه، تعداد ۳ نمونه از این کانی، مورد بررسی ریز گمانه‌ای، گرفت (جدول ۶). با توجه به نتایج بررسی ریز گمانه‌ای، فرمول

جدول ۶ نتایج آنالیز میکروپرورب از کانی زنوتلیت.

Major element	W%	W%	W%
SiO ₂	۸۰,۸۸	۵۱,۵۱	۹۰,۵۰
Al ₂ O ₃	۰,۰۲	۰,۰۰	۰,۰۰
Cr ₂ O ₃	۰,۰۰	۰,۱۰	۰,۰۰
FeO	۰,۰۰	۰,۰۲	۰,۰۱
MnO	۰,۰۰	۰,۰۲	۰,۰۰
MgO	۰,۰۰	۰,۰۳	۰,۰۲
CaO	۴۵,۵۸	۴۴,۷۲	۴۵,۳۲
Na ₂ O	۰,۰۰	۰,۹۳	۰,۰۱
K ₂ O	۰,۰۱	۰,۰۲	۰,۰۰
Total	۹۶,۴۹	۹۷,۳۵	۹۶,۲۶
Formula	Cations	Cations	Cations
Si	۶,۰۸۰	۶,۱۰۲	۶,۰۹۱
Al	۰,۰۰۳	۰,۰۰	۰,۰۰
Cr	۰,۰۰	۰,۰۰۱	۰,۰۰
Fe ²⁺	۰,۰۰	۰,۰۰۰۲	۰,۰۰۰۱
Mn	۰,۰۰	۰,۰۰۰۲	۰,۰۰
Mg	۰,۰۰	۰,۰۰۰۵	۰,۰۰۰۴
Ca	۵,۸۳۶	۵,۶۷۷	۵,۸۱۱
Na	۰,۰۰	۰,۲۱۴	۰,۰۰۰۲
K	۰,۰۰۳	۰,۰۰۳	۰,۰۰
Total	۱۱,۹۲۱	۱۲,۰۰۶	۱۱,۹۱۰

جدول ۷ نتایج آنالیز میکروروب از کانی پکتولیت.

SiO_2	۵۶,۱۳	۵۵,۷۹
TiO_2	۰,۰۴	۰,۰۱
Al_2O_3	۰,۰۶	۰,۱۱
Cr_2O_3	۰,۰۰	۰,۰۳
FeO^*	۲,۱۳	۳,۱۴
MnO	۰,۰۴	۰,۰۶
MgO	۳,۷۷	۴,۷۲
CaO	۲۸,۶۷	۲۵,۷۱
Na_2O	۷,۲۴	۵,۴۷
K_2O	۰,۰۵	۰,۰۵
P_2O_5	۰,۴۶	۰,۴۲
Total	۹۸,۶	۹۷,۵۲
Formula	Cations	Cations
Si	۰,۱۲	۲,۱۱۴
Ti	۰,۰۰۱	۰,۰۰۰۲
Al	۰,۰۰۰۳	۰,۰۰۰۴
Cr	۰,۰۰	۰,۰۰۰۹
Fe	۰,۰۶۷	۰,۰۹۹
Mn	۰,۰۰۱	۰,۰۰۹
Mg	۰,۲۱۴	۰,۳۸
Ca	۱,۱۶	۰,۰۴۳
Na	۰,۵۳	۰,۴۰۱
K	۰,۰۰۲	۰,۰۰۲
P	۰,۰۱۴	۰,۰۱۳
Total	۴,۱۱۲	۴,۰۸

بحث و برداشت

۲- حضور مقدار کم کانی‌های کلسیم دار در دایک‌های آمفیبولیتی شده نسبت به دایک‌های گابروئی رودنژیتی شده (مخصوصاً گابروهای پگماتیتوئیدی و میکروگابروها) نشان می‌دهد که شاره‌های غنی از کلسیم نتوانسته‌اند به راحتی به دایک‌های آمفیبولیتی نفوذ کنند. بافت متراکم آمفیبولیت‌ها نسبت به گابروها را می‌توان دلیل مهمی برای این عدم نفوذ شاره‌ها بیان کرد.

۳- در دایک‌های آمفیبولیتی و رودنژیتی شده، کانی‌های پلازیوکلаз نسبت به آمفیبولها تجزیه شدگی بیشتری نشان می‌دهند و اغلب این پلازیوکلازها به پرهنیت تبدیل شده‌اند،

۱- بر اساس شواهد صحرایی و نیز بررسی‌هایی که روی مقاطع نازک این قبیل دایک‌ها به عمل آمد مشخص شد که، رودنژیتی شدن پس از آمفیبولیتی شدن در این گونه سنگ‌ها رخ می‌دهد. توضیح احتمالی در مورد تشکیل این دایک‌ها این است که، دایک‌های گابروئی به داخل سنگ‌های اولترامافیک نفوذ کرده‌اند و طی یک رشته فرایند های دگرگونی به آمفیبولیت تبدیل شده‌اند، پس از مدتی که شرایط (دما گرماب) برای رودنژیتی شدن فراهم شدند، دایک‌های آمفیبولیتی شده به رودنژیت تبدیل شده‌اند [۳].

- [2] Schandle E.S., D.S., hanley O., Wicks F. J., "Fluid inclusion in rodingite", a geothermometer for serpentinization: Economic Geology 85 (1990) 1273 – 1276.
- [۳] فلاحتی س، "بررسی‌های کانی‌شناسی و سنگ‌شناسی رودنژیت‌های مرتبط با افیولیت نائین"، پایان‌نامه کارشناسی ارشد، دانشگاه اصفهان، (۱۳۸۶)، ۱۲۹ صفحه.
- [۴] عالی‌ی مهابادی س، فؤاذی م، داوری م، بهره مند م، محمدیان م، حدادان م، "نقشه زمین‌شناسی ۱:۱۰۰۰: انجین، سازمان زمین‌شناسی و اکتشافات معدنی کشور"، (۱۳۸۳).
- [5] Kretz R., Symbols for rock –forming minerals: American Mineralogists 68 (1983) 277 – 279.
- [۶] مصلحی ز، "کانی‌شناسی و پترولوژی رودنژیت‌های بخشی از افیولیت سبزوار (مناطق باعتر و سلیمانیه)"، پایان نامه کارشناسی ارشد، دانشگاه صنعتی شاهرود، (۱۳۸۳)، ۹۳ صفحه.
- [7] Dubinska E., Clinzoisitic rodingites from Naslawice near Sobarcia: Archiwum Mineralogiczne 49 (1995) 41 – 54.
- [۸] اتردی س، "کانی‌شناسی سیلیکات‌ها"، انتشارات دانشگاه پیام نور، (۱۳۷۷)، ۲۹۱ صفحه.
- [9] Sabzehei M., Rodigitization of Iranian basic rocks, a new interpretation: Journal of Sciences 13 (2002) 155 – 160.
- [10] Deer W.A., Howie R.A., Zussman J., "An Introduction to the Rock – Forming Minerals", Longman Scientific & Technical, (1978). 528p.
- [11] Esteban J.J., Cuevas J., Tubia J. M., "Xonotlite in rodingite assemblages from the Ronda peridotites, betic cordilleras", Southern Spain: The Canadian Mineralogist 41 (2003) 161 – 170.
- [12] Mamedov K.S., Belov N.V., "Crystal structure of xonotlite", Dokl. Akad. Nauk SSSR 104 (1955) 615 – 618 (in Russ).

بنابراین وجود مقدار فراوان کانی‌های پرهنیت به خرج پلازیوکلаз در آمفیبولیت‌ها نشان می‌دهد که این سنگ‌ها نسبت به گابروها کمتر تحت تأثیر رودنژیتی شدن قرار گرفته‌اند و تنها مرحله‌ی ابتدائی رودنژیتی شدن را تحمل کرده‌اند.

۴- با توجه به بررسی‌های صحرائی، رنگ سبز برآق دایک‌های آمفیبولیتی رودنژیتی شده این رنگ سبز به دلیل حضور کانی‌های اولیه آمفیبول و کانی‌های ثانویه کلربیت است، دلیل دیگری بر تأثیر کمتر شاره‌های رودنژیت ساز بر روی این دایک‌ها نسبت به دایک‌های گابروئی است.

۵- تفکیک کلینوپیروکسن‌های اولیه و ثانویه در بررسی‌های سنگ‌شناسی این گونه است که، کلینوپیروکسن‌های ثانویه ریزتر و سالم‌ترند، در حالی که کلینوپیروکسن‌های اولیه، درشت و مات بوده و به صورت جدا شده و تیغه‌های انحلال در جهت (۰۰۱) هستند. همچنین کلینوپیروکسن‌های ثانویه به صورت تیغه‌های نازک و در داخل زنوتلیت‌های رگه‌ای قابل مشاهده اند.

۶- به دلیل عدم محاسبه‌ی مقدار آب در آنالیز EDS و ریز گمانه، تشخیص گراسولار و هیدروگراسولار از یکدیگر در نمونه‌های مورد بررسی محدود نیست، به همین دلیل ترکیب گارنت‌های منطقه، با توجه به دارا بودن کلسیم زیاد، می‌تواند هر کدام از این دو کانی باشد.

۷- بررسی‌های مینرال شیمی کانی‌هایی همچون کلینوپیروکسن ثانویه (دیوپسید) و گارنت‌های (هیدروگراسولار) موجود در رودنژیت‌های منطقه‌ی مورد بررسی، نشان از غنی بودن این کانی‌ها از کلسیم است.

مراجع

- [1] Davoudzadeh M., "Geology and petrology of the area North of Nain, Central Iran: Geological Survey of Iran", Report 14 (1972) 79 p.